

**Introduction**  
A gamma-ray spectrometric and aeromagnetic airborne geophysical survey of the northeast Thelon Basin area, Nunavut, was completed by Goldair Airborne Surveys. The survey was flown from August 20th to September 06, 2003 using three Piper PA-31 Navajo aircraft (C-GJBA, C-GJBB, C-GJBC). The control traverse and control line spacings were, respectively, 400 m and 240 m, and the aircraft flew at a nominal terrain clearance of 125 m at an altitude between 200 and of 270 ft. Terrain lines were oriented 135° with respect to the flight lines. The flight path was recovered following photogrammetric procedures using a Global Positioning System. The survey was flown on a pre-determined flight surface to minimize differences in magnetic values at the intersections of control and traverse lines.

**Gamma-ray Spectrometric Data**  
The airborne gamma-ray measurements were made with a Radiation Solutions RS-500 gamma-ray spectrometer using Barium 132a-132m (Ba-132) crystals. The main detector array consisted of twelve crystals (total volume 50.4 litres). Two crystals (total volume 8.4 litres), protected by the main array, were used to detect variations in background gamma-ray counts caused by atmospheric radon. The system also includes 1024 channel spectra from the individual NaI(Tl) detectors with no loss of Poisson statistics. Spectral stabilization is accomplished by measuring the recorded spectra with several natural gamma-ray peaks.

Potassium is measured directly from the 1460 keV gamma-ray photons emitted by <sup>40</sup>K, whereas uranium and thorium are measured indirectly from gamma-ray photons emitted by daughter products <sup>214</sup>Pb and <sup>214</sup>Bi, respectively. Although these daughters are far above their respective parents, they are assumed to be in equilibrium with their parents. Thus gamma-ray spectrometric measurements of uranium and thorium are referred to an equivalent uranium and equivalent thorium, i.e. eU and eTh. The energy values for the uranium, uranium and thorium are, respectively, 1370-1371 keV, 1060-1061 keV, and 214-215 keV.

Gamma-ray spectra were recorded at one-second intervals. Data processing followed standard procedures as described in IAEA, 1991 and IAEA, 2003. Dating processing, the spectra were energy calibrated, and counts were accumulated into the windows described above. Counts from the radon detectors were recorded in a 1860-1860 keV window. The energy values for the radon detector windows are 1860-1860 keV and 1860-1860 keV. The radon counts were corrected for decay time, background activity from cosmic irradiation, radioactivity of the aircraft and atmospheric radon decay products. The window data were then corrected for spectral scattering in the ground, air and detectors. Corrections for deviations from the planned terrain clearance and for variations in temperature and pressure were made prior to conversion to ground concentrations of potassium, uranium and thorium, using factors determined from flights over the Denison, Saskatchewan test strip. The factors for potassium, uranium, and thorium are listed in Table 1.

	C-GJBA	C-GJBB	C-GJBC
Potassium (cps/%)	82.22	81.61	79.37
Uranium (cps/ppm)	11.55	12.11	12.38
Thorium (cps/ppm)	5.15	5.03	4.96

Table 1. Gamma-Ray spectrometer sensitivities for each aircraft.  
Corrected data were interpolated to a 100 m grid interval. The results of an airborne gamma-ray spectrometer survey represent the average surface concentrations of the 3 natural radioelements, and are influenced by nature or condition, presence of outcrops, vegetation cover, soil moisture and surface water. As a result the measured concentrations are usually lower than the actual bedrock concentrations.

**Magnetic Data**  
The magnetic field was sampled 10 times per second using a split-beam cesium vapour magnetometer (sensitivity = 0.005 nT) rigidly mounted to the aircraft. Differences in magnetic values at the intersections of control and traverse lines were analyzed to obtain a mutually consistent set of flight-line data. The leveled values were then interpolated to a 100 m grid. The International Geomagnetic Reference Field (IGRF) defined at the average GPS altitude of 287 m for the year 2000 GA was then removed. Removal of the IGRF, representing the magnetic field of the Earth's core, produces a residual component related essentially to magnetization within the Earth's crust.

The first vertical derivative of the magnetic field is the rate of change of the magnetic field in the vertical direction. Computation of the first vertical derivative removes long wavelength features of the magnetic field and significantly improves the resolution of closely spaced and suppressed anomalies. A property of first vertical derivative maps is the coincidence of the zero-cross contour with vertical contacts of magnetic units at high magnetic latitudes (Hood, 1965).

**Introduction**  
Un levé géophysique aéroporté de spectrométrie gamma et magnétique a été réalisé dans la partie nord-est du bassin de Thelon au Nunavut par la société Goldair Airborne Surveys. Le levé a été effectué du 20 août au 6 septembre 2003, à bord de trois avions Piper PA-31 Navajo (C-GJBA, C-GJBB, C-GJBC). L'alignement des lignes de vol était de 400 m et celui des lignes de contrôle de 240 m. L'avion a volé à une altitude nominale de 125 m au-dessus du sol et la vitesse était de 200 et 270 km/h. Les lignes de vol étaient orientées à 135° et les lignes de contrôle à 135°. Le chemin de vol a été récupéré par photogrammétrie à l'aide d'un système de positionnement global (GPS). Le levé a été effectué sur une surface de vol prédéterminée afin de réduire le plus possible les différences de valeurs du champ magnétique aux intersections des lignes de contrôle et des lignes de vol.

**Données de spectrométrie gamma**  
Les mesures du rayonnement gamma ont été effectuées à l'aide d'un spectromètre gamma Radiation Solutions RS-500 utilisant quatre cristaux de NaI(Tl) de 1024x1024x408 mm. Le principal réseau de capteurs se composait de douze cristaux (volume total de 50,4 litres). Deux cristaux (volume total de 8,4 litres), protégés par le réseau principal, ont été utilisés pour détecter les variations du rayonnement gamma dues au radon atmosphérique. Ce système comprenait à partir des réponses individuelles des cristaux de NaI(Tl) un spectre de 1024 canaux en respectant une distribution de Poisson. La calibration des spectres est réalisée en ajustant les spectres enregistrés selon plusieurs pics gamma naturels.

Le potassium est mesuré directement à partir des photons gamma de 1460 keV émis par le <sup>40</sup>K, tandis que l'uranium et le thorium sont mesurés indirectement selon les photons gamma émis par des produits de fission (<sup>214</sup>Pb pour l'uranium et <sup>214</sup>Bi pour le thorium). Bien que ces radionucléides de fission se trouvent bien dans leur chaîne respective de désintégration, on suppose qu'ils sont en équilibre avec leur radionucléide père, ainsi, les mesures spectrométriques du rayonnement gamma de l'uranium et du thorium sont obligées comme des équivalents d'uranium et des équivalents de thorium, soit eU et eTh. Les plages d'énergie utilisées pour mesurer le potassium, l'uranium et le thorium sont respectivement : de 1370 à 1371 keV, de 1060 à 1061 keV et de 214 à 215 keV.

Les spectres du rayonnement gamma ont été enregistrés à intervalle d'une seconde. Le traitement des données a suivi les procédures standards décrites dans IAEA, 1991 et IAEA, 2003. Avant le traitement, les spectres ont été corrigés d'un échappement énergétique et des coups ont été corrigés dans les plages décrites ci-dessus. Les coups corrigés à l'aide des capteurs de radon ont été enregistrés dans la plage de 1860 à 1860 keV et le rayonnement à des énergies supérieures à 1860 keV a été enregistré dans la plage de rayonnement continue. Les spectres ont été corrigés pour leur contenu en radon. Les données ont été corrigées de la radioactivité de l'avion et des produits de désintégration du radon atmosphérique. Les données ont ensuite été corrigées pour tenir compte de la diffusion spectrale dans le sol, de la radioactivité de l'avion et de la hauteur de vol, de la température et de la pression et les variations de température et de pression ont été effectuées avant la conversion en concentrations équivalentes au sol du potassium, de l'uranium et du thorium, en utilisant des facteurs déterminés lors de vols effectués au-dessus de la bande d'essai de Denison, Saskatchewan. Les facteurs déterminés pour le potassium, l'uranium et le thorium sont présentés au Tableau 1.

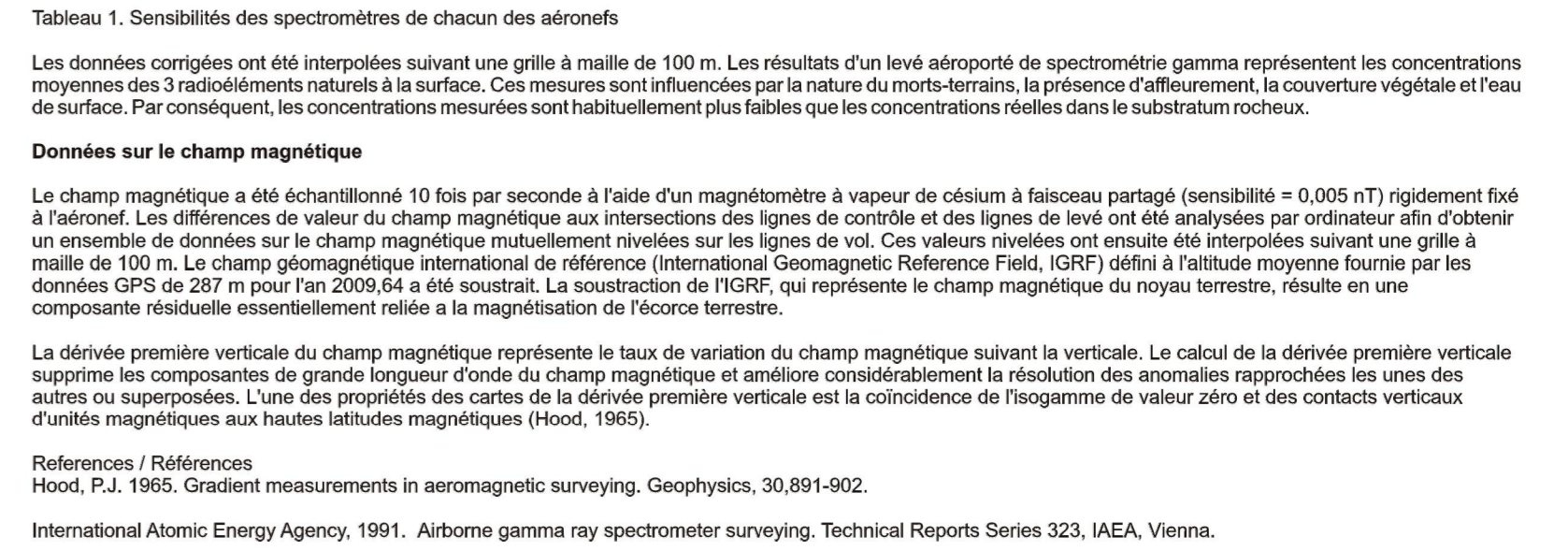
	C-GJBA	C-GJBB	C-GJBC
Potassium (cps/%)	82.22	81.61	79.37
Uranium (cps/ppm)	11.55	12.11	12.38
Thorium (cps/ppm)	5.15	5.03	4.96

Tableau 1. Sensibilités des spectromètres de chaque des avions.  
Les données corrigées ont été interpolées suivant une grille à maille de 100 m. Les résultats d'un levé aéroporté de spectrométrie gamma représentent les concentrations moyennes des radioéléments naturels à la surface. Ces résultats sont influencés par la nature ou l'état des outcrops, la présence de végétation, la couverture végétale et le niveau de surface. Par conséquent, les concentrations mesurées sont habituellement plus faibles que les concentrations réelles dans le substratum rocheux.

**Données sur le champ magnétique**  
Le champ magnétique a été échantillonné 10 fois par seconde à l'aide d'un magnétomètre à vapeur de césium à faisceau partagé (sensibilité = 0,005 nT) rigidement fixé à l'avion. Les différences de valeur du champ magnétique aux intersections des lignes de contrôle et des lignes de vol ont été analysées pour obtenir des données d'un ensemble de données sur le champ magnétique mutuellement résolues sur les lignes de vol. Ces valeurs nivelées ont ensuite été interpolées suivant une grille à maille de 100 m. Le champ géomagnétique international de référence (International Geomagnetic Reference Field (IGRF) défini à l'altitude moyenne fournie par les données GPS de 287 m pour l'année 2000 GA a été soustrait. La soustraction de l'IGRF qui représente le champ magnétique du noyau terrestre, résulte en une composante essentiellement crustale de la magnétosphère.

La dérivée première verticale du champ magnétique représente le taux de variation du champ magnétique suivant la verticale. Le calcul de la dérivée première verticale supprime les composantes de grande longueur d'onde du champ magnétique et améliore considérablement la résolution des anomalies rapprochées les unes des autres ou supprimées. L'une des propriétés des cartes de la dérivée première verticale est la coïncidence de l'isogamme de valeur zéro et des contacts verticaux d'unités magnétiques aux hautes latitudes magnétiques (Hood, 1965).

References / Références  
Hood, P.J., 1965. Gradient measurements in aeromagnetic surveying. *Geophysics*, 30:891-902.  
International Atomic Energy Agency, 1991. Airborne gamma ray spectrometer surveying. Technical Reports Series 323, IAEA, Vienna.  
International Atomic Energy Agency, 2003. Guide lines for radiometric mapping using gamma ray spectrometry data. Technical Reports Series 363, IAEA, Vienna.

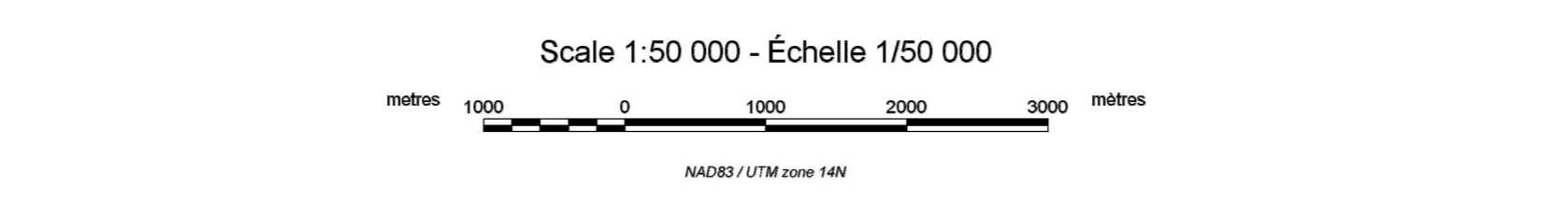


Funding for this project was provided through the Strategic Investments in Northern Economic Development (SINED) program of Indian and Northern Affairs Canada and the Geomagnetic for Energy and Minerals (GEM) program of the Earth Sciences Sector, Natural Resources Canada. Project management and data quality control procedures were carried out by the Geological Survey of Canada (GSC) under the GEM program.

Ce projet est financé par le programme des Investissements stratégiques dans le développement économique du Nord (SINED) d'Affaires indiennes et du Nord Canada et le programme Géomagnétique pour l'Énergie et les Minéraux (GEM) du Secteur des Sciences de la Terre de Ressources naturelles Canada. La gestion et la supervision du projet ont été effectuées par le Centre de données géophysiques de la Commission géologique du Canada, Ottawa, Ontario.

GSC OPEN FILE 6517 / DOSSIER PUBLIC 6517 DE LA CGC  
GEOPHYSICAL SERIES / SÉRIE DES CARTES GÉOPHYSIQUES  
AIRBORNE GEOPHYSICAL SURVEY OF THE NORTHEAST THELON BASIN, NUNAVUT  
LEVÉ GÉOPHYSIQUE AÉROPORTÉ DE LA PARTIE NORD-EST DU BASSIN DE THELON, NUNAVUT  
NTS 66 B/10 AND 66 B/11 / SNRC 66 B/10 et 66 B/11

RESIDUAL TOTAL MAGNETIC FIELD  
COMPOSANTE RÉSIDUELLE DU CHAMP MAGNÉTIQUE TOTAL



Authors: Harvey, B.J.A., Coyle, M., Buckle, J.L., Carson, J.M. and Hefford, S.W.

Auteurs: Harvey, B.J.A., Coyle, M., Buckle, J.L., Carson, J.M. et Hefford, S.W.

L'acquisition, la compilation des données ainsi que la production des cartes furent effectuées par Goldair Airborne Surveys, Saskatchewan, Saskatchewan. La gestion et la supervision du projet furent effectuées par la Commission géologique du Canada, Ottawa, Ontario.



Department of Economic Development and Transportation  
Ministère du Développement économique et des Transports

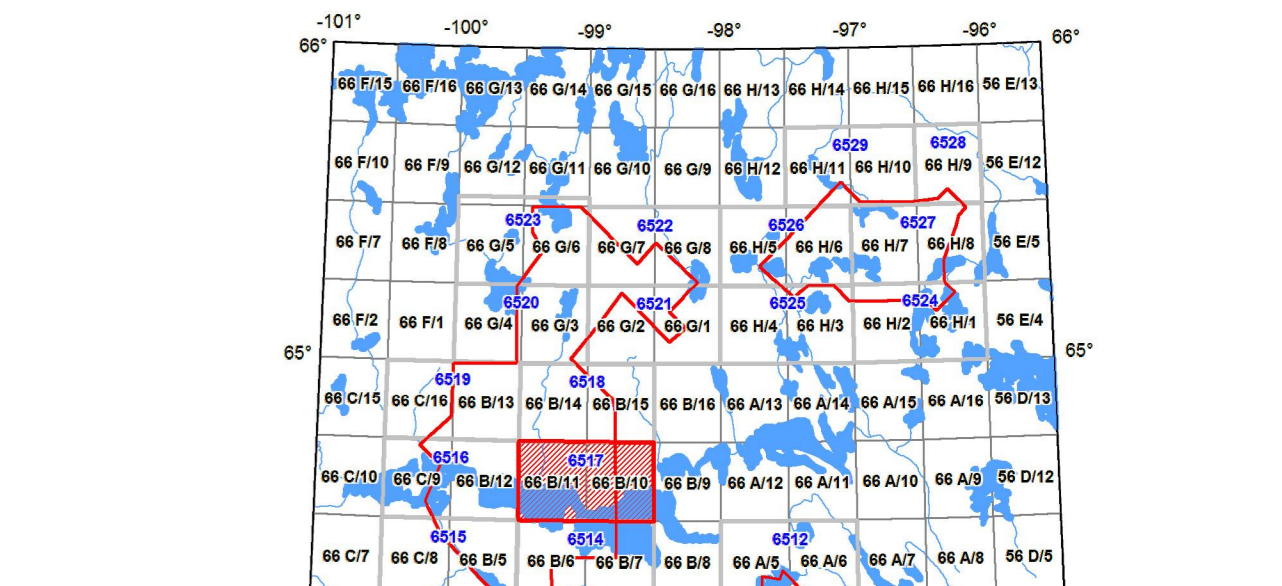


Digital versions of this map, corresponding digital profile and gridded data, and similar data for adjacent aeromagnetic and gamma-ray spectrometric surveys can be downloaded, at no charge, from Natural Resources Canada's Geoscientific Data Repository (GDR). The same products are available, for a fee, from the Geophysical Data Centre, Geological Survey of Canada, 615 Booth Street, Ottawa, Ontario, K1A 0E8, Telephone: (613) 995-5206, email: info@gsd@gsc.nrcan.gc.ca.

On peut télécharger gratuitement, depuis l'Entrepôt de données géoscientifiques de Ressources naturelles Canada à l'adresse Web <http://gdr.nrcan.gc.ca>, des versions numériques de cette carte, des données numériques correspondantes au format profil et au format grille, ainsi que des données similaires issues des levés aéromagnétiques et spectrométriques adjacents. On peut se procurer les mêmes produits, moyennant des frais, en s'adressant au Centre de données géophysiques de la Commission géologique du Canada, 615, rue Booth, Ottawa (Ontario) (N1A 0E8), Téléphone: (613) 995-5206, courriel: info@gsd@gsc.nrcan.gc.ca.

MAP SHEET SUMMARY / SOMMAIRE DES FEUILLETS

Sheet	MAP / CARTE
1.	Natural Air Absorbed Dose Rate Taux d'absorption naturel des rayons gamma dans l'air
2.	Potassium
3.	Uranium
4.	Thorium
5.	Uranium / Thorium
6.	Uranium / Potassium
7.	Thorium / Potassium
8.	Terrain Relieftopographic Map Diagramme topographique des élévations
9.	Residual Total Magnetic Field Composante résiduelle du champ magnétique total
10.	First Vertical Derivative of the Magnetic Field Dérivée première verticale du champ magnétique



OPEN FILE  
DOSSIER PUBLIC  
6517

Publication in this series have not been edited. Les publications de cette série ne sont pas révisées. Les données sont fournies par l'auteur.

2011

SHEET 6 OF 10  
FEUILLET 9 DE 10

Recommended citation:  
Harvey, B.J.A., Coyle, M., Buckle, J.L., Carson, J.M., and Hefford, S.W., 2011. Geophysical Series. Airborne Geophysical Survey of the Northeast Thelon Basin, Nunavut. Geophysical Series 66 B/11. Geological Survey of Canada, Open File 6517. Scale 1:50 000.

National topographic coordinate:  
Harvey, B.J.A., Coyle, M., Buckle, J.L., Carson, J.M. et Hefford, S.W., 2011. Série des cartes géophysiques. Levé géophysique aéroporté de la partie nord-est du bassin de Thelon, Nunavut. Série des cartes géophysiques 66 B/11. Commission géologique du Canada, Dossier public 6517. Échelle 1:50 000.